

# Тема: R-матрицы и их варианты зацеплений

§1

## R-матричное представление групп кос

Помимо тридиагонального одномерного представления  $\mathbb{B}_n$ :

$$g_i \mapsto \alpha \quad \forall \alpha \in \mathbb{C} \setminus \{0\}$$

хорошо известно представление фактор-группы  $\mathbb{B}_n$  — симметрической группы  $S_n$  матрицами перестановки.

Оно определяется на  $n$ -мерном пространстве  $V$  с базисом  $\{u_i\}_{i=1 \dots n}$ , элементы которого и переставляются:

$$\boxed{\forall \pi \in S_n : \pi \circ u_i = u_{\pi(i)}} \quad (1)$$

Для альтернирующих генераторов  $S_n - \sigma_i$  имеет представление

$$\sigma_i \circ u_j = \begin{cases} u_{i+1}, & \text{если } j=i \\ u_i, & \text{если } j=i+1 \\ u_j & \forall j \neq i, i+1, \text{ т.е.} \end{cases} \quad (2)$$

$$\sigma_i \mapsto \begin{pmatrix} 1 & & & & & & \\ & \ddots & & & & & \\ & & 1 & & & & \\ & & & \ddots & & & \\ & & & & 0 & & \\ & & & & & \ddots & \\ & & & & & & 1 \end{pmatrix} \in \text{Aut}(V)$$

Это представление приводит к:

$$V = V_{\boxed{1 \dots n}} \oplus V_{\boxed{\frac{n}{2} \dots \frac{n-1}{2}}}$$

Одномерное "точечное" представление действует на подпространстве, напоминающем вектор

$$\omega = \sum_{i=1}^n u_i : \quad \sigma_i \omega = \omega$$

$(n-1)$ -мерное неприводимое представление, отвечающее диаграмме

$$\tilde{u}_i = u_i - \omega, \quad i = 1, 2, \dots, n-1.$$

В 1936 г. Вернер Бурен (Werner Burau) обобщил представление (1), введя в матрицы (2) параметр  $t$ :

$$b_i \mapsto \begin{pmatrix} & & & & & \\ & \vdots & & \vdots & & \\ & & \ddots & & & \\ & & & \vdots & & \\ & & & & \boxed{\frac{1-t}{1+t}} & \\ & & & & & 0 \\ & & & & & \\ & & & & & \\ & & & & & \\ & & & & & \\ & & & & & \end{pmatrix} \quad (3a)$$

Архитипов генераторов  $B_n$  в представлении Бурен удовлетворяют квадратичному соотношению

$$(b_i - 1)(b_i + t \cdot 1) = 0,$$

поскольку изменив масштаба  $b_i \mapsto \frac{1}{q} b_i$  и заменив параметра  $t \mapsto \frac{1}{q^2}$  представление Бурен можно сделать представлением алгебры Гекке  $H_n(q)$ :

$$g_i \mapsto \begin{pmatrix} q & & & & & \\ & \ddots & & & & \\ & & q & & & \\ & & & \ddots & & \\ & & & & \boxed{\lambda x} & \\ & & & & & 0 \\ & & & & & \\ & & & & & \\ & & & & & \\ & & & & & \\ & & & & & \end{pmatrix}, \quad \lambda := q - q^{-1}, \quad (38)$$

$q, x \in \mathbb{C} \setminus \{0\}.$

Здесь параметр  $x$  появляется за счет смены масштаба

тогда базисных векторов  $V$ :  $u_i \mapsto \tilde{u}_i = x^i u_i$ .

Для представления Burau параллель х несущественна.  
Могли бы быть для удобства дальнейших построений.

Проверить, что (38) даёт представление  $H_1(q)$   
и построить его разложение в прямую сумму неприво-  
димых предполагается в 1-й задаче 3-го листка.

Реш. Представление Burau замечательно тем, что

оно является тоткое (faithful) для  $B_2$  и  $B_3$   
(доказал Burau), т.е. различное заплетение 2-х и 3-х

нитей представляется различными матрицами Burau.

В течение 1993-1999г. было доказано, что представ-  
ление Burau нетотко для  $B_n$ ,  $n \geq 5$ . (S. Bigelow)

Вопрос о тоткости представления Burau для  $B_4$   
остается открытым.

Еще один интересный факт о представлении Burau:  
оно связано с полиномом Ане Сандера — инвариантами  
узлов.

Однако представление Burau для нас слишком мало:  
содержит только 2 простейших представления амбий  
текущ. Будем искать обобщение:

В представлении амб. групп  $S_n$  (1) перестанов-  
ки  $\pi$  представлений базисное вектора представлений:

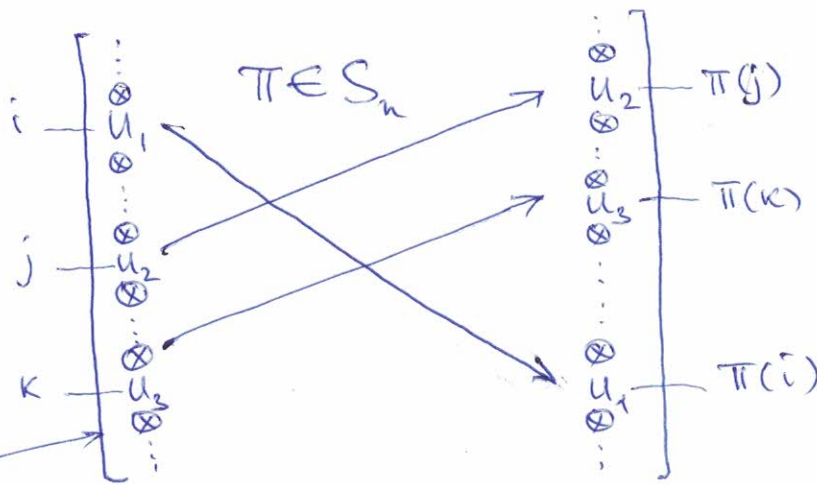
$$u_i = \begin{pmatrix} 0 \\ \vdots \\ 0 \\ 1 \\ 0 \\ \vdots \\ 0 \end{pmatrix} \xrightarrow{\pi} \begin{pmatrix} 0 \\ \vdots \\ 0 \\ 1 - \pi^{(i)} \\ 0 \\ \vdots \\ 0 \end{pmatrix},$$

т.е., практически это перенесение единичного объекта — "1" —

между ними возможными позициями.

Давайте перенесем теперь не один, а множество — целое линейное пространство  $V$ ,  $\dim V = N > 1$ , обменов между ними:

$\forall$   
 $u_1, u_2, u_3, \dots \in V$



Позиции с 1-й по n-ую.

Получаем представление  $S_n$ , задаваемое одним оператором перестановки:

$$P \in \text{Aut}(V \otimes V) : P(u \otimes v) = \sigma \otimes u \quad \forall u, v \in V \quad (4)$$

Действие артикульных генераторов  $S_n - \sigma_i$  на  $V^{\otimes n}$ :

$$\sigma_i \mapsto P_{ii+1} = \text{Id}_V^{\otimes(i-1)} \otimes P \otimes \text{Id}_V^{\otimes(n-i-1)} \quad (5)$$

В простейшем случае  $\dim V = 2$ , брьем базис в  $V$  —  $\{v_1, v_2\}$ , и выбрав базис  $\{v_1 \otimes v_1, v_1 \otimes v_2, v_2 \otimes v_1, v_2 \otimes v_2\}$  в  $V^{\otimes 2}$ .

Имеем:

$$P \mapsto \begin{pmatrix} 1 & \alpha_{12} & \alpha_{21} & \alpha_{22} \\ \vdots & \ddots & \ddots & \vdots \\ \alpha_{11} & \ddots & 1 & \alpha_{12} \\ \vdots & \ddots & \ddots & \ddots \end{pmatrix} \quad \begin{array}{l} \text{(индекса базисных} \\ \text{векторов } V^{\otimes 2}. \end{array}$$

По аналогии с представлением Burnside (см (2) и (35))

матрицы оператора  $P$  обобщили, введя параметр  $q$  для  $q \neq \infty$ : (5)

$$R := \begin{pmatrix} q & & & & \\ & q-q^{-1} & & & \\ & & x & & \\ & & & x^{-1} & \\ & & & & q \\ \dots & \dots & \dots & \dots & \dots \end{pmatrix} \quad (6)$$

Мы получили первый неочевидный пример, так называемой,  $R$ -матрицы.

Def Матрица оператора  $R \in \text{Aut}(V \otimes V)$  в некотором базисе  $\{v_i \otimes v_j\}_{i,j=1..n} \in V^{\otimes 2}$ , где  $\{v_i\}_{i=1..n}$  базис в  $V$ , называется  $R$ -матрицей, если она удовлетворяет соотношению

$$R_{12} R_{23} R_{12} = R_{23} R_{12} R_{23}, \quad (7)$$

где  $R_{12} := R \otimes \text{Id}_V$  и  $R_{23} = \text{Id}_V \otimes R$  — матрицы операторов в  $V^{\otimes 3}$ .

Соотношение (7) называется уравнением Янга-Бакстера (Yang-Baxter) или соотношением кос.

Всякая  $R$ -матрица порождает представление цепочки групп кос  $B_n$ ,  $n = 2, 3, \dots$ :

$$\boxed{B_n \xrightarrow{SR} \text{Aut}(V^{\otimes n})} \quad (8)$$

$$b_i \mapsto R_{i(i+1)} := \text{Id}_V^{\otimes(i-1)} \otimes R \otimes \text{Id}_V^{\otimes(n-i-1)}$$

Такое представление называется  $R$ -матрицей

Нетрудно убедиться, что матрица  $8 \times 8$ :

(6)

$$R_{12} = \left[ \begin{array}{cccc|ccccc} 111 & 112 & 121 & 122 & 211 & 212 & 221 & 222 \\ q & & & & & & & \\ \vdots & q & & & & & & \\ & x & . & & x & . & x & \\ & . & x & . & x & . & x & \\ \hline & x^{-1} & . & x^{-1} & & & & \\ & . & x^{-1} & . & & & & \\ & & & & q & . & q & \end{array} \right]$$

$$R_{23} = \left[ \begin{array}{cccc|ccccc} 111 & 112 & 121 & 122 & 211 & 212 & 221 & 222 \\ q & & & & & & & \\ \vdots & x & . & x & . & x & . & \\ & . & x^{-1} & . & x & . & x & \\ & & . & q & & & & \\ \hline & q & . & q & . & q & . & \\ & . & x & . & x & . & x & \\ & & . & . & . & . & . & q \end{array} \right],$$

что матрица  $R$  из (6) является  $R$ -матрицей.

Более того,  $R$ -матрица (6) удовлетворяет соотно-

шению Гекке:

$$(R - q \text{Id}_{V^{\otimes 2}})(R + \bar{q}^{-1} \text{Id}_{V^{\otimes 2}}) = 0, \quad (9)$$

а значит она задает представление членами алгебры Гекке  $H(q)$

Такие  $R$ -матрицы называются декартовыми.

Отличительная особенность  $R$ -матриц из пред-  
ставлений  $V_n \xrightarrow{\rho_R} \text{Aut}(V^{\otimes n})$

⊗ локальность: любой артигор генератор  $b_i$  в  
представлении  $\rho_R$  действует нетривиально лишь на  
направлениях пространств  $V_i \otimes V_{i+1}$

⊗ однородность: все генераторы  $b_i$  действуют  
на своих пространствах  $V_i \otimes V_{i+1}$  одинаково —  
с помощью матрицы  $R$

Rem 1: Имеются представления групп кос, в которых  
условия локальности и однородности ослаблены. Они  
связаны с так называемыми "динамическими  $R$ -ма-  
тритцами".

Рем2: Представление Bureau Hu(q) вложено в R-матричное представление (6), при этом икогдатко. Действительно, если  $\vec{v}$  пары базисных векторов  $v_i, v_j \in V (i \neq j)$  генерирующие представление  $R_R$ , то вектор  $\underbrace{v_i \otimes v_j \otimes \dots \otimes v_i}_{(n-i) раз}$  порождает  $n$ -мерное пространство представлений Bureau.

Обобщение примера (6) на случай пространства  $V$  произвольной размерности  $N \geq 2$  — R-матрица Дрингельда-Джилдо:

$$R = \sum_{i=1}^N q e_{ii} \otimes e_{ii} + \sum_{\substack{i,j=1 \\ i \neq j}}^N x_{ij} e_{ij} \otimes e_{ji} + \sum_{\substack{i,j=1 \\ i < j}}^N (q - q^{-1}) e_{ii} \otimes e_{jj} \quad (10)$$

Здесь  $\{e_{ij}\}$  — базис матричных единиц в  $\text{End}(V)$ , а параметры  $x_{ij} \in \mathbb{C} \setminus \{0\}$  удовлетворяют условию

$$\boxed{x_{ij} x_{ji} = 1} \quad (11)$$

Предпредложение: матричное значение R-матрицы (10)

в базисе  $v_i \otimes v_j$ : 
$$R(v_{j_1} \otimes v_{j_2}) = \sum_{i_1, i_2} (v_{i_1} \otimes v_{i_2}) R_{i_1 j_1; i_2 j_2}$$

$R_{i_1 j_1; i_2 j_2}$  — коэффициент в (10) при  $e_{i_1 j_1} \otimes e_{i_2 j_2}$ .

В матрице R он стоит на пересечении столбца с номером  $"j_1 j_2"$  и строки с номером  $"i_1 i_2"$ .

Проверка в лоб соотношений Энга - Бакстера ⑧

где R-матриц (10) — это занятие для компьютера.

Более разумная тактика — обратить внимание на блочно-диагональную структуру R-матрицы Рингенга-Джонса: она состоит из  $1 \times 1$  и  $2 \times 2$  блоков.

тогда

$$\begin{matrix} ii \\ ii \\ ii \end{matrix} \cdots [q]$$

$$\begin{matrix} ij & ji \\ ij & ji \\ ij & ji \end{matrix} = \begin{bmatrix} (q-q') & x_{ij} \\ \frac{1}{x_{ij}} & 0 \end{bmatrix}.$$

Две матрицы из левой и правой части уравнения

YB (7) общий блоки на диагонали таковы:

	номер строки	номер столбца	
$1 \times 1$	$\{ii\}$	$\{ii\}$	— (7) выполняется тождество
$3 \times 3$	$\left\{ \begin{matrix} iij \\ iji \\ jii \end{matrix} \right\}$	$\left\{ \begin{matrix} iij \\ iji \\ jii \end{matrix} \right\}, i \neq j$	— (7) — это соотношение касается представления Burau 3.
$6 \times 6$	$\left\{ \begin{matrix} ijk \\ ijk \\ ijk \\ ijk \\ ijk \\ ijk \end{matrix} \right\}$ и их перестановки	$\left\{ \begin{matrix} ijk \\ ijk \\ ijk \\ ijk \\ ijk \\ ijk \end{matrix} \right\}$ и их перестановки	$i \neq j \neq k$ — новое соотношение, требующее проверки

Таким образом  $N$  требуется проверять лишь однотипное соотношение для  $6 \times 6$  матрицы.

Обсудим произволь б задачи R-матриц. 9

Замена базиса в  $V \setminus \{v_i\} \rightarrow \tilde{v}_i = \sum_j v_j x_{ji}$  не влечет на уравнение  $YB$ , и приводит к преобразованию R-матрицы:

$$R \rightarrow \tilde{R} = (x_1)^{-1} (x_2)^T R x_1 x_2 \quad (12)$$

где  $X = \|X_{ij}\|$ ,  $x_1 = X \otimes \text{Id}_V$ ,  $x_2 = \text{Id}_V \otimes X$

(12) называется квазидроботомическим преобразованием R-матрицы, оно задает класс эквивалентных R-матриц

Замена базиса в  $V \otimes V$ , вообще говоря, нарушает уравнение  $YB$ , именно поэтому мы говорим о R-матрице, а не о R-операторе в пространстве  $\text{Aut}(V \otimes V)$ .

Существует семейство нетривиальных преобразований подобия

$$R \mapsto R^F = F R F^{-1} \quad (13)$$

где F - ядроизоморфизм из  $\text{Aut}(V \otimes V)$

не нарушающих уравнений  $YB$ . Здесь F *выполняет* условия:

$$F_{12} F_{23} F_{12} = F_{23} F_{12} F_{23} \quad \text{— т.е. } F \text{ — R-матрица}$$

$$\left. \begin{aligned} F_{12} F_{23} R_{12} &= R_{23} F_{12} F_{23} \\ F_{23} F_{12} R_{23} &= R_{12} F_{23} F_{12} \end{aligned} \right\} \text{согласование} \quad (14)$$

扭曲 (twist)

(10)

Условие (14) гарантирует выполнение уравнения YB для матрицы  $R^F$  (проверьте), а преобразование называется преобразованием дриinfeldовского твиста (Drinfeld twist).

Задача нахождение твистующих матриц  $F$  не является задачей решения уравнения YB, так что Твист — не бикоммутативное преобразование и не считается преобразованием эквивалентности.

Для R-матрицы (10)

матрицы, похожие  
на перестановку

$$F = \sum_{i,j=1}^N f_{ij} e_{ij} \otimes e_{ji}$$

имеются матрицы Твиста, и они изображают "у-  
дачные" от параметров  $x_{ij}$  в (10) + добавьте  $x_{ij}=1$

Приведем примеры других R-матриц.

(A)

R-матрица Кулеша - Склемина (1980)

отличается от R-матрицы Дриinfelda - Джимбо  
лишь появлением коэффициентов  $-q'$  вместо  $q$   
на диагонали. В случае  $\dim V = 2$ :

$$R_{KS} = \left( \begin{array}{c|cc|cc} q & & & & \\ \hline & q-q^{-1} & x & & \\ & x^{-1} & & & \\ & & & & -\frac{1}{q} \end{array} \right)$$

В общем случае:  $\dim V = N + M$ :

$$R_{KS} = \sum_{i=1}^N \varepsilon_i q^{e_i} e_{ii} \otimes e_{ii} + \sum_{i \neq j} x_{ij} e_{ij} \otimes e_{ji} + \sum_j (q - q^{-1}) e_{ii} \otimes e_{jj}$$

$$\text{где } x_{ij}x_{ji} = 1, \quad \varepsilon_i := \begin{cases} +1 & i=1 \dots N \\ -1 & i=N+1 \dots N+M \end{cases} \quad (15)$$

$\varepsilon_i$  называется "степенью" базисного вектора  $v_i$

### (Б) R-матрица Ригтеберга

F.Alcaraz, M.Droz, M.Henkel,  
V.Rittenberg, Annals of Physics,  
v.230, pp.250-302, 1994, Appendix C;  
arXiv:hep-th/93021

$$\dim V = 2$$

$$R_R = \left( \begin{array}{cc|cc} q & \cdot & \cdot & \omega(q) \\ \cdot & q-q^{-1} & x(q) & \cdot \\ \hline \cdot & \frac{1}{x(q)} & \cdot & \cdot \\ \cdot & \cdot & \cdot & -y_q \end{array} \right) \quad (16)$$

Здесь  $x(q)$  и  $\omega(q)$  необходимо подобрать так, чтобы выполнялось уравнение  $YB$  (это одна из задач листка)

$R_R$  должна обнаруживаться в связях с приложениями  
R-матриц в теории стохастических процессов дифузии-  
антидифузии.

### (Б) R-матрица Креммера-Жерве (Cremmer-Gervais) конец 1980-х

$$R_{CG} = \left( \begin{array}{cccc|ccc} 11 & 12 & 13 & 21 & 22 & 23 & 31 & 32 & 33 \\ \hline q & x & 1 & & & & & & \\ -1 & 1 & 0 & & & & & & \\ 0 & q & 0 & & & & & & \\ 1 & 1 & x & 1 & & & & & \\ \hline q & qx & 0 & & & & & & \\ & & 1 & & & & & & \\ & & & & & & & & q \end{array} \right)$$

$\dim V = 3$

$\lambda := q - q^{-1}$  (17)

В этой R-матрице впервые появился  $3 \times 3$

(12)

блок с индексами 13, 22, 31. Эта R-матрица, как и все предыдущие, является генкев-  
риуса, т.е. удовлетворяет соотношению Гекке (9),  
такой, т.е. удовлетворяет соотношению Гекке (9).

⑤ Незеркебеская R-матрица, ортогональная  
(т.н.  $O(3)$ )

$$R_{O(3)} = \left[ \begin{array}{ccc|cc|c} q & & & & & \\ & \lambda(1-q) & & & & \\ & & 1 & \frac{\lambda y}{q} & & \\ \hline & 1 & & 0 & & \\ & & \lambda y & 1 & & \\ & & & & \lambda & \\ \hline & & & 0 & 0 & \\ & & & & & q \end{array} \right] \quad \begin{array}{l} \dim V = 3 \\ \lambda = q - q^{-1} \\ \lambda y \neq 0 \end{array} \quad (18)$$

Эта R-матрица удовлетворяет кубическому соотно-  
шению

$$(R - q \text{Id}_{V^{\otimes 2}})(R + \bar{q}^{-1} \text{Id}_{V^{\otimes 2}})(R - \bar{q}^2 \text{Id}_{V^{\otimes 2}}) = 0$$

и реализует R-матричное представление серии ал-

гебр Бирман-Муркашин-Венгула  $\text{BMW}_n(q, \chi = \bar{q}^2)$ .

У R-матрицы из примеров ④, ⑥, ⑤ тоже  
имеются обобщения, действующие в пространствах  
размерности  $N > 2, 3$ .

Мы привели наиболее краткое описание

$R$ -матриц в пространствах размерности  $\dim V = 2, 3$ .  
Однако классификации всех решений уравнений  
 $YB(7)$ , несомненно, неизвестно, нет даже в размер-  
ности  $\dim V = 3$ .

Тем не менее, хотя для других геккерских  $R$ -матриц  
какой то порядок на множестве их решений известен  
может.

Известно, что для  $R$ -матрицы Риммерса - Джилла  
(10) а также и для  $R$ -матрицы Кумана - Склемена (15)  
если вогдать достаточно большое пространство представ-  
лений:  $\dim V = N \geq n$  (или (10)),  $\dim V = N + M : NM \geq n$  (или (15))  
то в  $R$ -матричном представлении будет представлено  
все неприводимые представления  $H_n(q)$  — оно будет точным.

Однако, если задавать  $\dim V$ , то с ростом  
 $n$  всегда наступит момент, что  ${}^g R H_n(q) \rightarrow \text{End}(V^{\otimes n})$   
перестанет быть точным. Действительно  $\dim H_n = n!$

В полуправильном случае (т.е. при некоторых ограничениях  
 $q|q$ ) это представление обязательно порождается  
(единицами или некоторыми) примитивными едини-  
ческими  $P_2$ , где  $L$  — стандартная таблица сортировок  $\lambda \vdash n$   
(объясните, почему?)

# Две R-матрицы Дрикфельда-Джимбо (10) (14)

вдвоем порождаются таблицей-столбцом с  $(N+1)$  клетками

$$\text{rk } \mathcal{P}_{R_{DJ}} (P \begin{smallmatrix} 1 \\ \vdots \\ N+1 \end{smallmatrix}) = 0. \quad \text{Далее, все представления} \quad (19)$$

леме алгебр Гекке  $H_n(q)$ ,  $n \geq N+1$ , отвечающие  
диаграммам Юра, имеющим более  $N$  строк, лежат  
в ядре  $\mathcal{P}_{R_{DJ}}$ . Геккевские R-матрицы, порождаю-  
щие представления с таким ядром, называются  
R-матрицами типа  $GL(N)$ . К таким относятся

$R_{DJ}$  и  $R_{CG}$  Кремнера-Жерве (17), но не только  
они. Название происходит из наблюдения, что  
порождающее ими представления  $H_n(q)$  свидетельствуют о  
свойстве дубликатности Шура-Вейса с представлениями  
линейных квантовых групп  $GL_q(N)$ . В случае  $q=1$

$R_{DJ} = P$  и это имеет обьяснение ввиду дубликатности представ-  
лений симметрической группы  $S_n - S_P$  — и представ-  
лений группог  $H_n$   $GL(N)$  на пространстве  $V^{\otimes n}$ ,  $\dim V = N$ .

Замечание, что при дополнительном условии  
косой обратимости (см. замечания лекции далее) для  
геккевских R-матриц типа  $GL(N)$  выполняется  
соотношение

$$\text{rk } \mathcal{P}_R (P \begin{smallmatrix} 1 \\ \vdots \\ N \end{smallmatrix}) = 1 \quad (20)$$

Изменено с этим проектированием ряда 1 следующе  
 понятие детерминанта как классических ( $q=1$ ),  
 так и квантовых матриц (см. далее лекции Ганцева Г.).  
 Оно позволяет определить понятие обратной матрицы  
 (т.е. отображение антидига в алгебрах Хонга) и загадать  
 серии квантовых групп  $SL_q(N)$ .  $R$ -матрицы  $R_{DJ}^{+}(10)$   
 и  $R_{ca}(17)$  обладают свойствами (20).

$R$ -матрицы Кулакина-Сименса (15) и Ритенберга (16)  
 относятся к другому типу генерируемых  $R$ -матриц. Их же,  
 порожденного  $R_{KS}$  (15) представления  $H_n(q)$  порождаются  
 угловотеками, отвечающими прямоугольной диаграмме бордот  
 $(N+1)$  и шириной  $(M+1)$ :

$$S_{R_{KS}}(P \begin{array}{|c|c|c|c|} \hline & & M+1 \\ \hline & & \vdots \\ \hline & N+1 & \vdots \\ \hline \end{array}) = 0 \quad (21)$$

В случае  $R_R$  (16) это порождается  $2 \times 2$  диаграммой  
 $\boxed{\phantom{a}}$ , т.е.  $N=M=1$ . Такие  $R$ -матрицы относятся  
 к  $GL(N|M)$  типу. Такие представления  $H_n(q)$   
 являются генерирующими линейных квантовых  
 групп представлением линейных квантовых  
 супергрупп  $GL_q(N|M)$ . В случае  $q=1$   $R_{KS}$  стаю-  
 ть матрицей суперперестановки (или порождающей базис  
 $x_{ij}$ ). Порождающее ее представление  $S_n$  является  
 представлением супергруппы  $Sp_{GL(N|M)}$ .

В настоящий момент не известно других типов  
чеккеских R-матриц (по крайней мере, мне). (16)  
Предполагаю, что если такие типы (т.е. такие R, что  
ядро  $R_R$  порождено идеалом, отвечающим не пре-  
многольной диаграмме Ньюса) будут найдены, то суще-  
ствовать они будут лишь при специальных значениях  $q$ .

В заключение обсудим, какие методы построения  
R-матриц известны.

(A) Ньюсон: искать решения уравнений  $\mathbf{YB}$  в  
рамках некоторого альфа.  $\mathbf{Y}$  же вореравненное  
реализует

$$R_{ij_1 i_2 j_2} \neq 0 \text{ только если } i_1 + i_2 = j_1 + j_2 \quad (22)$$

Ему удовлетворяют все представления более R-матриц,  
кроме  $R_R$ . (16).

В малых размерностях  $\dim V = 2, 3, \text{ даже } 4$  это  
альфа позволяет находить решения уравнений  $\mathbf{YB}$ ,  
что в том, что при условиях (22) некоторые из  
компонент матричного кубического уравнений  $\mathbf{YB}$  (7)  
фиксируются на линейном фрагменте. Кроме того,  
уравнение  $\mathbf{YB}$  разбивается на несколько блоков, некоторые  
из которых суммируются строковых (или столбцовых) индексов (7)

$$i_1 + i_2 + i_3 = j_1 + j_2 + j_3 = K \in \{3, 4, \dots, 3\dim V\}$$

$\mathbf{YB}$  затем решается последовательно в блоках  
с уверенностью, что  $K = 3, 4, \dots$

Таким образом действительного удаётся  
найти не мало серий R-матриц, включая  
 $R_{Dj}$  (10);  $R_{ks}$  (15);  $R_{CG}$  и  $R_{OW}$  — серии R-матриц  
полученных из примеров (17), (18) при больших  
 $\dim V$ . Есть и другие серии R, которые можно так  
найти. Но это всё же угадайка.

### (Б) Метод синтеза R-матриц (Fusion)

Это метод построения более сложных R-матриц из  
известных простых.

Этот метод основан на 2-х наблюдениях:

(a) Если объект  $b_i = \begin{array}{c} i \\ \diagdown \\ i+1 \end{array}$  удовлетворяет соотноше-

нию кос, то объект

$$B_I := \begin{array}{c} i \\ \diagup \\ i+1 \\ \diagdown \\ i+2 \\ \diagup \\ i+3 \\ \vdots \\ I \\ \diagup \\ i_{i+1} \\ \diagdown \\ i_{i+2}, i_{i+3} \end{array} = b_{i+1} b_i b_{i+2} b_{i+1} \quad (23)$$

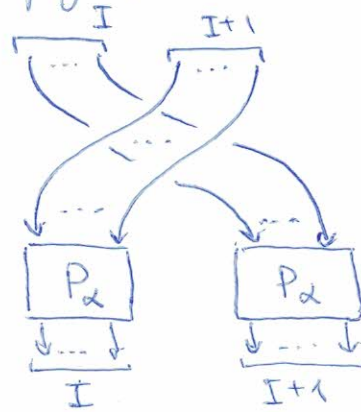
то же удовлетворяет соотношению кос:

$$\boxed{B_I B_{I+1} B_I = B_{I+1} B_I B_{I+1}}$$

Здесь мы в сложном выражении  $B_I$  разбиваем  
на 2 подмощества  $I$  и  $I+1$ , внутри подмоществ они  
не переплетаются. В каждом из подмоществ может  
быть сколько угодно кистей: 1, 2 или более.

Амебрауровски (23) — это гомоморфизм  $B_n \rightarrow B_{2n}$  (18)  
 (в общем случае, когда  $I$  содержит  $k$  нитей — это гомоморфизм  $B_n \rightarrow B_{kn}$ )

(5) Если теперь внутри подмножества нитей  $I$  имеем возможность строить 2-сторонние угловые (т.е. переходы от  $B_-$  к  $\mathbb{C}[B_-]$  истроим изоморфизм), как это это можно уже делать для амеб Генке, то из (23) можно варировать косос с нитями "меньших размерностей". Например, где случая  $H_n(q)$  и где индекса  $I = \{1, 2, \dots, k\}$  получится конструкция



$$G_I :=$$

(24)

здесь  $P_d$  — построенный выше в прошлой теме изоморфизм,  $d$  —  $\#$  стандартной таблицы, обозначающей диаграмму  $H_n(q) \rightarrow H_k$ .

Если теперь известно представление  $\rho_R : H_n(q) \rightarrow \text{End}(V^{\otimes n})$  с некоторой чеккевской  $R$ -матрицей, то  $\rho_R(G_I)$

будет  $R$ -матрицей, действующей в  $\text{End}(V^{\otimes 2})_{H_k}$

Таким образом, стартуя с простейшей  $R$ -матрицы Рэнделла-Джайлса (6) на 2-мерном  $V$  можно строить серию  $R$ -матриц, которые действуют на пространствах больших размерности и не являются чеккевскими (имеют  $> 2$  различных собственных значений)

Этот метод был предложен в 80-х годах прошлого (19) века в работах ленинградской школы мат. физики А.Д.Фадеева (П.Кулиш, Е.Скликин, Н.Реметихин, А.Курников). В наиболее ярком виде такие "fused" R-матрицы представлены в работе В.Манзареева (2014г.)

Рем: Важно, что такие методы можно строить R-матрицы со симметрическим параметром, получаяющиеся симметрией бактериальных элементов  $i(x)$  (см. записи лекций прошлой темы). Дело в том, что общеизвестные R-матрицы со симметрическим параметром всегда строятся, а такие R-матрицы играют большую роль в физических приложениях.

(B) R-матрицы из представлений квадратичных алгебр Хопфа (кватернионов)

Подробнее эту тему (вероятно) обсудят П.Сапоров. Здесь упомянем, что в алгебрах Хопфа, помимо умножения  $m: A \otimes A \rightarrow A$  есть коумножение  $\Delta: A \rightarrow A \otimes A$  — коасоциативный гомоморфизм алгебры  $A$ :

$$\forall a \in A \quad \Delta(a) = \sum_i a_{(1)} \otimes a_{(2)i}$$

Вместе с коумюжением  $\Delta$  всегда есть коумюже-  
ние  $\Delta^{op}$  — оппозитное : (20)

$$\boxed{\text{Так} \Delta^{op}(a) = \sum_i a_{(2)i} \otimes a_{(1)i}}$$

Если алгебра Хопфа коммутативна, то  $\Delta^{op} = \Delta$ .

Это случай универсальных обертований алгебр  $Ug$  алгебр Ли  $g$ .

Если же  $\Delta^{op} \neq \Delta$ , то  $\exists R \in A \otimes A$ :

$$\boxed{\text{Так} \Delta_{op}^{op}(a) = R \Delta(a) R^{-1}} \quad (25)$$

то (при еще некоторых дополнительных условиях на  $R$ )

такие алгебры Хопфа называются квадратичными, а  
 $R$  называется универсальной  $R$ -матрицей

Теперь, для  $V$  представлений  $\rho_V : A \rightarrow \text{End}(V)$   
можно построить  $R$ -матрицу  $\in \text{Aut}(V \otimes V)$  вида

$$\boxed{R_{12} = P_{12} (\rho_V \otimes \rho_V)(R)} \quad (26)$$

Здесь  $P_{12}$  — оператор перестановки, действующий на  $V \otimes V$

Эта конструкция изобретена В.Дринкелем в 80-е  
годы прошлого столетия. Универсальную  $R$ -матрицу  
построить можно. Вслед за Дринкелем построе-  
ны и ряд других некоммутативных деформаций  
универсальных обертований алгебр  $Ug$  (супер-)алгебр  
Ли  $g$  занимались С.Хоринки и В.Толстой (90-е  
годы).